

۳- زمین‌شناسی

ترکیب کائی‌شناسی به نسبت ساده‌ای دارند و شامل کائولینیت، کوارتز، جاروپیت، مونت‌موریلینیت، آلتیت، مسکروپیت ایلیت، آناناتز، کلریت، اورتوکلار، کلسبت، گریت و هماتیت هستند (جدول ۱ و شکل ۴) از میان کائی‌های یاد شده، کائولینیت و کوارتز در همه نمونه‌ها به عنوان فازهای کایاپی اصلی، جاروپیت به دو صورت فاز اصلی و فرعی و بنده کائی‌ها به عنوان فازهای کایاپی فرعی در این پنهان‌ها حضور دارند.

مطالعات کائنه‌نگاری و SEM-EDS حضور کائی‌های پیریت، هماتیت، گوتیت، استیت، گالن، اسفالریت، کالک‌پیریت و بورونیت را در رگه‌های سبلیسی کائی‌زای مرتبط با پنهان‌های کائولینیزه نشان می‌دهند (شکل‌های ۵ تا ۸). پیریت به صورت بلورهای دانه درشت و دانه‌بری نیمه‌شکل دار تا شکل دار در رگه‌ها حضور دارد که در اثر دگرسانی به هماتیت تبدیل شده است (شکل‌های ۵ الف تا ۸ الف). در طبق EDS این کائنه، مقداری آرستیک حضور دارد (شکل ۵ ت). استیت، در نمونه دستی به صورت اگرگات‌های شعاعی، شکل دار و سوزنی دیده می‌شود (شکل ۶ الف). در زیر میکروسکوب، بلورهای دیده شده از این کائنه، به صورت بی‌شکل (شکل ۶ ب) و یا شعاعی هستند. شکل‌های ۶ ب و ت به ترتیب تصویری از کائی‌سازی دانه‌براکنده استیت و جانشینی مقداری آرستیک را در آن نشان می‌دهند. گالن و اسفالریت دو کائنه با فراوانی بسیار کم در رگه‌های دیده می‌شوند که به شدت برخی شده‌اند (شکل‌های ۷ الف تا ۸). بورونیت مهم‌ترین کائی سولفورسات Sb و Pb تشخیص داده شده در رگه‌های سبلیسی است که به صورت بلورهای دانه‌متوسط تا درشت و به فرم پرکنده حفرات و شکستگی‌های کائنه‌های دیگر مانند گالن، اسفالریت، استیت، پیریت، و پیریت دیده می‌شود (شکل ۸ الف). شکل‌های ۸ ب و پ به ترتیب تصویر SEM و طیف EDS این کائنه‌ها را نشان می‌دهند.

۴- زمین‌نیمه‌ی

- توکیب شیمیایی و محاسبات تغییرات جوم REEs در پنهان‌های کاولینیزه: نتایج تجزیه‌های شیمیایی نمونه‌های مربوط به پنهان‌های کائولینیزه و سنتگ‌های آندزیتی در جدول ۲ ارائه شده است. بر پایه این جدول، SiO_2 (۵۶/۴۵)، Al_2O_3 (۱۵/۴۰ ۱۳/۱۲)، Fe_2O_3 (۸/۵۵ ۳/۷۱)، K_2O (۴/۳۴ ۳/۵۴) به ترتیب فراوان ترین فازهای اکسیدی (%Wt) حاضر در نمونه‌های کائولینیزه هستند. از میان عناصر جزئی As ، Sb ، Ba ، Zn ، Pb و Cu فراوانی قابل ملاحظه‌ای دارند. مقدار پر $\text{REE}_{\text{La-Eu}}$ ، $\text{LREE}_{\text{La-Eu}}$ و $\text{HREE}_{\text{Gd-Lu}}$ به نمونه‌ها به ترتیب دارای بازه ۱۴۲/۱۱ تا ۱۴۶/۱۶، ۱۱۲۹ تا ۸/۲۲، ۱۷۹/۱۱ تا ۱۲۵/۴۸ هستند (جدول ۳). الگوی توزیع REEs بهنجار شده با کندریت (Taylor and McLennan, 1985) را نشانش می‌دهند (شکل ۹ الف).

تقریب و خنی شدگی LREEs نسبت به HREEs در REEs_n را نشانش می‌دهند (شکل ۹ ب). محاسبات مقدار پر نسبت های $(\text{LREEs}/\text{HREEs})_{\text{n}}$ و $(\text{La/Lu})_{\text{n}}$ (جاایی که با کندریت بهنجار شده‌اند) به ترتیب بازه تغییراتی از ۷/۱۹ تا ۱۰/۲۸ و از ۱۳/۷۳ تا ۲۲/۴۲ را نشان می‌دهند (جدول ۳) که میان تقریب و خنی شدگی LREEs از HREEs در طی کائولینیتی شدن است.

در این پژوهش، برای تعیین درجه تعریک عناصر خاکی که باید در طی تکوین و گسترش پنهان‌های کائولینیزه از روش زمین‌شیمی عناصر کم تعریک (Nesbitt and Markovics, 1997) استفاده شد. نتایج تجزیه‌های شیمیایی نشان می‌دهند که از میان عناصری کم تعریکی مانند Nb، Th، Al، Ti، Zr، Sc، Hf و Ce که معمولاً برای محاسبات تغییرات جرم در طی دگرسانی استفاده می‌شوند (Karayaka, 2009; Kadir et al., 2014) که کمترین دامنه تغییرات در نمونه‌های کائولینیزه (ppm ۱۰-۱۲) دارای کمترین نسبت به سنتگ‌های اولیه آندزیتی (ppm ۱۱-۱۳) است. معادله استفاده شده برای محاسبات تغییرات جرم REEs به فوارز زیر است (Nesbitt and Markovics, 1997):

$$\% \text{ Change} = \left[\frac{(\text{X}_{\text{kaolinized sample}} / \text{Sc}_{\text{kaolinized sample}}) / (\text{X}_{\text{andesite}} / \text{Sc}_{\text{andesite}})}{1} - 1 \right] \times 100$$

در این رابطه، X عنصر مورد نظر برای محاسبه تغییر جرم است. مقدار پر مثبت و منفی به

منطقه موربد پرسی، بر پایه تفسیمات پنهان‌های زمین‌ساختی ایران (Stocklin, 1968) بخشی از پنهان‌های ساختاری ستدج سیرجان است (شکل ۱). کهن ترین واحدهای سنتگی منطقه موربد پرسی را واحدهای سنتگی منتقل بر شیست، گایاپی، آمفیپیت، مرمزا، دولومیت، شیل، ماسه‌سنگ و کوارتزیت به سن پروتوزوویک بالایی اردوویسین تشکیل می‌دهند (شکل ۲). در این بخش از حوضه تکاب اثری از فعالیت‌های مانگمازی و با راسوب گذاری از اردوویسین تا الگو میوسن دبه نمی‌شود؛ بدینظری که سازند قم و سرخ پایینی (الگو میوسن) با ترکیب سنتگ‌شناسی کلگلومرا، ماسه‌سنگ، مارن، سنتگ‌آهک و ترف به همراه سنتگ‌آهک ریپی (آگونانی بوردیگالن) روی واحدهای گرانودوریت، دیوریت، گابرو، کوارتز پوروفیری، گرافیت، ریولیت، سنتگ‌های آندزیت جای گرفته‌اند. در پایان، گند آندزیتی داسیتی و ترددی‌های بسیار آتششانی میوسن بالایی پلوسون، کلگلومراهای سخت نشده و ماسه‌سنگ‌های بسیار آتششانی که بزمین‌ساختی توالی سنتگی یاد شده را تداوم بخشدند. در این بخش از حوضه تکاب، در ارتباط با واحدهای دگرگونی پروتوزوویک بالایی اردوویسین کائی‌سازی‌های مختلفی دیده می‌شود که از مهم‌ترین آنها می‌توان به ذخیره طلای آق دره اشاره کرد (Daliran, 2008) (شکل ۲).

مشاهدات صحرای نشان می‌دهند که در منطقه گورگور یک سامانه دگرسانی گرمایی به نسبت گسترده‌ای توسعه باافته است که بیشتر واحدهای سنتگی مربوط به سازند سرخ بالایی و واحدهای آتششانی میوسن و میوسن پلوسون را تحت تأثیر قرار داده است. از جمله دگرسانی‌های گسترش باافته در ارتباط با سنتگ‌های آتششانی یاد شده می‌توان به دگرسانی‌های فیلک، آرژبلیک، پروپیلیت و سبلیسی اشاره کرد. از ویژگی‌های برجسته زمین‌شناسی این منطقه می‌توان به تشکیل و گسترش پنهان‌های کائولینیزه اشاره کرد که بدینظری چیره در ارتباط با محصول دگرسانی سنتگ‌های آندزیتی میوسن هستند. به نظر می‌رسد که ساختارهای زمین‌ساختی (گسل‌ها) با ایجاد معیری برای نفوذ و عملکرد محلول‌های گرمایی نقش ارزشمندی در گسترش پنهان‌های کائولینیزه در این منطقه داشته‌اند. این پنهان‌ها در نزدیکی گسل‌های سفید و در مناطق دور از گسل‌رنگ خاکستری دارند. آنها در نزدیکی گسل‌های سفید و گاه در دارای رگه‌هایی از سبلیس به سمتی مترا تا یک مترا هستند. در این رگه‌ها، در نمونه دستی آثاری از کائی‌سازی‌های فلزی مانند پیریت، کالک‌پیریت، هماتیت و گوتیت به خوبی دیده می‌شود. در مجاورت پنهان‌های کائولینیزه و گاه در بالای آنها، دگرسانی سبلیسی به چشم می‌خورد.

۴- نتایج و بحث

۴-۱. سنتگ‌نگاری و کائی‌شناسی

مطالعات سنتگ‌نگاری نشان می‌دهند که سنتگ‌های آندزیتی مرتبط با پنهان‌های کائولینیزه در گورگور دارای بافت پوروفیری هستند و در آنها درشت بلورهای خودشکل و صفحه‌ای پلازیوکلاز در یک سنتگ‌ها دارای (شکل‌های ۳ الف و ب). درشت بلورهای پلازیوکلاز در این سنتگ‌ها دارای ماکل کارلساد و آلتیتی و متفلکنی بوسانی هستند. طول این بلورهای خودشکل و دانه درشت بدینظری مانگن ۰/۴ میلی‌متر است و گاه به ۱ سانتی‌متر می‌رسد. کائی‌های فرومیزین همراه با کوارتز از دیگر کائی‌های حاضر در این سنتگ‌ها هستند که به دو شکل درشت بلور و میکروپیت نیمه‌شکل دار تا بی‌شکل دیده می‌شوند. ترکیب کائی‌های فرومیزین بیشتر از نوع آمفیبول (هورنبلاند سبز) (شکل ۳ ب) است که در مواردی به کلریت، کلسبت، ایدووت و کلریت دگرسان شده‌اند. کلینیت و کلسیت از نوع اوژبت از دیگر کائی‌های حاضر در این سنتگ‌ها است که به صورت ستونی دیده می‌شود. این کائی، به کربنات، اکسید آهن و کلریت تجزیه شده است. آپاتیت و زیرکن از مهم‌ترین کائی‌های فرعی هستند و پیریت مهم‌ترین کائی تیره حاضر در این سنتگ‌هاست. تجزیه‌های پراش پرتو ایکین (XRD) نشان می‌دهند که پنهان‌های کائولینیزه

برای محاسبه مقادیر بی‌هنچاری Ce و Eu در پهنه‌های کاتولیزه و سنتگ‌های آولیه آندزیتی به ترتیب از روابط زیر استفاده شد (Taylor and McLennan, 1985):

$$\text{Eu/Eu}^* = \text{Eu}_{\text{N}} / [(\text{Sm}_{\text{N}} \times \text{Gd}_{\text{N}})]^{1/2}$$

$$\text{Ce/Ce}^* = 2\text{Ce}_{\text{N}} / (\text{La}_{\text{N}} + \text{Pr}_{\text{N}})$$

در این روابط، حرف N بیانگر بهنچار شدن عنصر یاد شده با کنترل است. محاسبات انجام شده نشان می‌دهد که مقادیر بی‌هنچاری Ce و Eu در نمونه‌های کاتولیزه به ترتیب داره ای ۰/۸۴ و ۰/۸۳ تا ۰/۹۳ است. بی‌هنچاری Eu و Ce در سنتگ آندزیتی به طور میانگین به ترتیب برابر ۰/۸۸ و ۰/۹۳ است. مقایسه میان مقادیر یاد شده در نمونه‌های کاتولیزه و سنتگ مادر آندزیتی نشان می‌دهد که گذر سنتگ‌های آندزیتی به پهنه‌های کاتولیزه در محدوده گورگور با رخداد بی‌هنچاری منفی و مثبت Eu و با رخداد بی‌هنچاری منفی Ce همراه بوده است. رخداد بی‌هنچاری منفی Eu می‌تواند با دگرسانی کانی پلازبیکلاز در طی دگرسانی مرتبط باشد (Arslan et al., 2006).

همستگی‌های منفی فوی میان $\text{Eu/Eu}^* - \text{Al}_2\text{O}_3$ ($= 0/77$) (شکل ۱۲ الف) و مثبت فوی میان $\text{Eu/Eu}^* - \text{Fe}_{\text{O}}$ ($= 0/85$) (شکل ۱۲ ب) نشان می‌دهند که درجه تغییر Eu/Eu^* از Fe عامل ترتیب کننده تغییرات بی‌هنچاری در طی کاتولیزی شدن آندزیتها در گورگور بوده است. با توجه به همستگی مثبت میان $\text{Eu/Eu}^* - \text{Fe}_{\text{O}}$ می‌توان چنین متصور شد که کانی‌های هماستی و گوتیت به واسطه عملکرد فراپاردهای روشن سبب تثیت Eu و رخداد بی‌هنچاری مثبت Eu در پهنه‌های کاتولیزه شده‌اند. رخداد بی‌هنچاری منفی Ce می‌تواند به دلیل ماهیت احیای سیال‌های دگرسان کننده و نقش مؤثر فراپاردهای درون‌زاد در شکل گیری پهنه‌های کاتولیزه مرتبط باشد.

همستگی‌های مثبت میان $\text{Eu/Eu}^* - \text{Al}_2\text{O}_3$ ($= 0/78$) (شکل ۱۲ ب) و $\text{Ce/Ce}^* - \text{Zr}$ ($= 0/85$) (شکل ۱۲ ت) نشان می‌دهند که جذب سطحی توسط رسها و تخریب کانی زیرکن توسط سیال‌های درون‌زاد (Fulignati et al., 1999)، دو عامل کلیدی کنترل کننده تغییرات مقادیر بی‌هنچاری Ce در پهنه‌های کاتولیزه بوده‌اند.

۵- نتیجه‌گیری

مهم ترین نتایج حاصل از این پژوهش عبارتند از:

رگه‌های سیلیسی حاضر در درون پهنه‌های کاتولیزه منطقه گورگور شامل کانه‌های پیریت، کالکوپیریت، گالی، اسفالریت، بورونیت و استینت هستند.

تفقیق نتایج حاصل از محاسبات تغییرات جرم و تغییرات در نسبت‌های عنصری نشان می‌دهند که همپوشی فراپاردهای بروزن‌زاد روی درون‌زاد، تغییرات pH پتانسیل احیا و تثیت توسط کانی‌های رسی، اکسیدها و هیدروکسیدهای آهن، زیرکن و جارویت مهم ترین عوامل کنترل کننده نوزیع REEs در پهنه‌های کاتولیزه بوده‌اند.

درجه تغییر ضعیف REEs از LREEs تغییر ضعیف در میان HREEs و HREEs از LREEs در هم‌زمان با این نتایج تغییر ضعیف در میان HREEs و HREEs از LREEs (La/Lu) و (Sr/LOI) با اجزایی مانند P_{O_5} با اجزایی مانند Sr پیش‌بینی شده است (Grecco et al., 2012).

پهنه‌های کاتولیزه محدوده گورگور ابا کرده‌اند.

درجه تغییر ضعیف پلازبیکلازها در طی سیستم‌های واکنش آب سنتگ به همراه روشن و تمرکز توسط اکسیدها و هیدروکسیدهای آهن دو فاکتور کلیدی کنترل کننده بی‌هنچاری Eu بوده‌اند.

جذب سطحی توسط رسها، پتانسیل احیا و تخریب زیرکن توسط سیال‌های درون‌زاد سه عامل کلیدی کنترل کننده تغییرات بی‌هنچاری Ce در پهنه‌های کاتولیزه هستند.

سپاسگزاری

نگارنده‌گان این مقاله از حمایت‌های مالی معاونت پژوهشی دانشگاه ارومیه برخوردار بوده‌اند؛ بنابراین نهایت سپاس خود را از مستلزمان مربوط اعلام می‌دارند. همچنین از سرکار خانم دکتر فرهنگار دلبران برای انجام تعیین‌دهی‌های SEM و از داوران محترم مجله برای نظرات و پیشنهادات سازنده‌شان سپاسگزاری می‌شود.

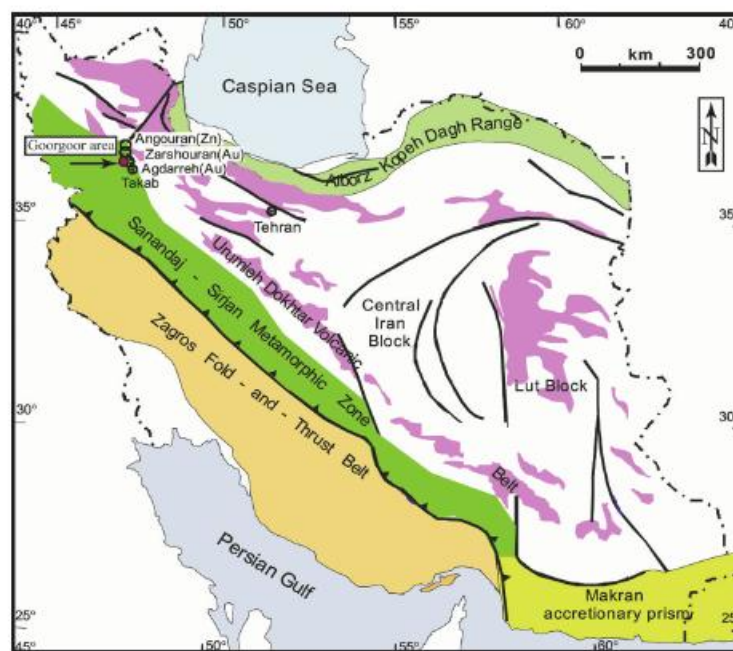
ترتیب نشانه افزایش و کاهش جرم REEs در طی کاتولیتی شدن سنتگ‌های آندزیتی است. نتایج حاصل به صورت نمودار در شکل ۹ ب نمایش داده شده است. برایه این شکل، گسترش فراپارده کاتولیتی شدن در گورگور با غنی شدگی تهی شدگی La-Nd-La و نهی شدگی Sm-Lu همراه بوده است یادآور می‌شود که در روند تغییرات La نا Gd یک کاهش تدریجی در میزان تصرک دیده می‌شود؛ بدطوری که این روند کاهشی از Tb تا Lu نفریا ازین می‌رود (شکل ۹ ب).

- عوامل کنترل کننده تغییر در نسبت‌های (La/Lu) و (LREEs/HREEs) دو پهنه‌های کاتولیتی: بررسی‌ها نشان داده است که اجزایی مانند S و Sr P_{O_5} تنها در ذخایر کاتولیت با مشا درون‌زاد حاضر هستند و مقدار این اجزا با پیشرفت درجه دگرسانی (LOI) افزایش می‌باید (Grecco et al., 2012). در این نوع ذخایر، همستگی مثبت فوی میان اجزایی باد شده با درجه تغییر LREEs از HREEs دیده می‌شود (Grecco et al., 2012). در این پژوهش، برای تعیین نقش احتمالی فراپاردهای درون‌زاد در گسترش پهنه‌های کاتولیزه مورد مطالعه و ارتباط آنها با درجه تغییر REEs نمودارهای دو متغیره رسم و ضرایب همستگی پرسون (جدول ۴) می‌تواند باشد. رسم نمودارهای دو متغیره (La/Lu) و (LREEs/HREEs) با اجزایی مانند S و Sr در برابر P_{O_5} و LOI (شکل ۹) را میان این اجزا نشان می‌دهد که همستگی‌های مثبت و فوی ($= 0/95$) را میان این اجزا نشان می‌دهد که یانگر نقش مؤثر فراپاردهای درون‌زاد در تغییر La از Lu در طی کاتولیتی شدن در گورگور است (شکل ۹ ب). همچنین، همستگی‌های مثبت فوی میان S و Sr درون‌زاد تغییرات (LREEs/HREEs) در برابر اجزایی باد شده وجود دارد ($= 0/95$) (شکل ۹ ب). که دلیل بر نقش کنترلی فراپاردهای درون‌زاد در تغییر و غنی شدگی REEs سبب به REEs است.

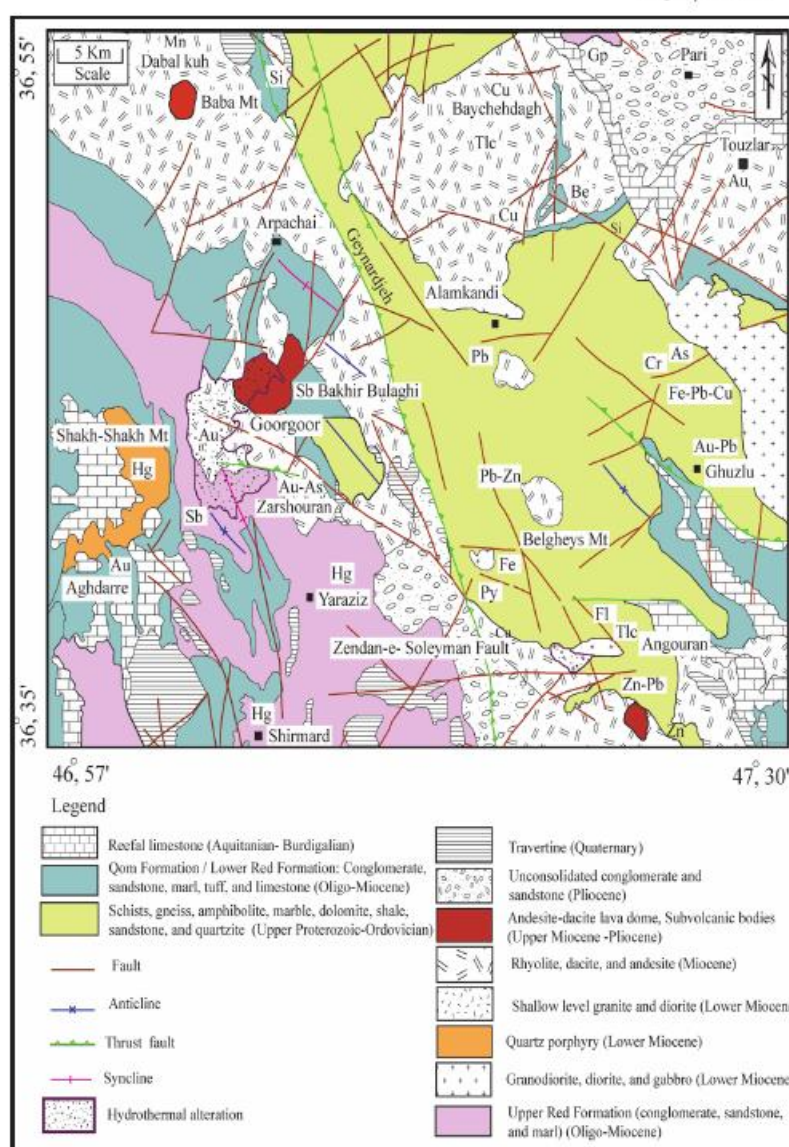
مجموع عناصر احیای سیال‌های درون‌زاد در طی کاتولیتی از هم نیز می‌تواند در تعیین نوع فراپاردهای دخیل در گسترش و تشکیل پهنه‌های کاتولیزه گورگور مفید باشد. مطالعات انجام شده نشان داده است که در ذخایر کاتولیت با مشا درون‌زاد و بروزن‌زاد مقدار ppm به ترتیب کمتر و بیشتر از ۱۰۰ در نسونه‌های مورده مطالعه این نسبت دارای بازه تغییراتی از (Dill et al., 1997) ۱۱/۹ تا ۱۵۳/۵ ppm است. این بازه تغییرات نشان از این دارد که فراپاردهای بروزن‌زاد نیز در گسترش پهنه‌های کاتولیزه مورد مطالعه بی تأثیر نبوده‌اند. مطالعات انجام شده روی ذخایر کاتولیت در دنیا آشکار کرده است که در کاتولیت‌های با مشا درون‌زاد و بروزن‌زاد HREEs به ترتیب دچار کمترین و بیشترین درجه تغییر از هم می‌شوند (Grecco et al., 2012). با توجه به بازه تغییرات بسیار محدود HREEs در نسونه‌های مورده مطالعه ($\text{ppm} = ۱۱/۲۹$ تا ۸/۳۲) به نظر می‌رسد که نقش فراپاردهای درون‌زاد در توسعه پهنه‌های کاتولیزه بسیار محتمل تراز فراپاردهای بروزن‌زاد باشد.

- عوامل کنترل کننده توزیع و تحرک REEs و پهنه‌های کاتولیتی: REEs های پایین و بالا به ترتیب سبب شستشو و غنی شدگی REEs در محصولات دگرسان شده می‌شوند (Fulignati et al., 1999). با توجه به نقش اصلی سیال‌های درون‌زاد در توسعه پهنه‌های کاتولیزه، انتظار بر این است که در طی کاتولیتی شدن سنتگ‌های آندزیتی همde REEs باشد از سامانه به طور بخشی خارج شوند. محاسبات تغییرات جرم عناصر خاکی کمیاب چنین پذیده‌ای را برای Sm-Tb-Nd-La بازه تغییرات نشان می‌دهند. بنابراین غنی شدگی عناصر REEs علیغ بر از pH داشته باشد. با توجه به ترکیب کانی شناسی این پهنه‌ها، به نظر می‌رسد که غنی شدگی REEs به احتمال فوی با ورود آنها به شبکه کانی جارویت مرتبط باشد. REEs می‌توانند جانشین K در شبکه کانی جارویت شوند (Karayaka, 2009). افزون بر این، حضور کانی‌های مانند کاتولیت، هماستی و گوتیت نیز می‌توانند موجات تثیت LREEs در این پهنه‌ها را فراهم کرده باشد. این کانی‌ها توانایی سیار بالایی برای جذب و روبش LREEs در سامانه‌های مختلف دگرسانی دارند (Fulignati et al., 1999). با توجه به تجزیه و تحلیل‌های باد شده، به نظر می‌رسد که پتانسیل یونی شرایط بسیار مناسی برای جذب و روبش LREEs توسط کانی‌های باد شده فراهم کرده است.

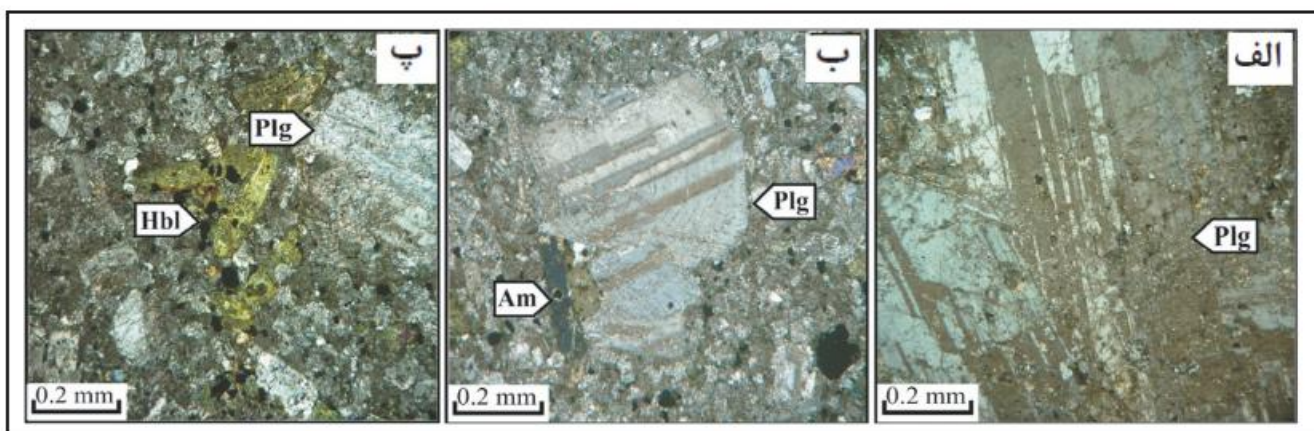
- دلایل رخداد بی‌هنچاری های Eu و Ce در پهنه‌های کاتولیتی: در این پژوهش،



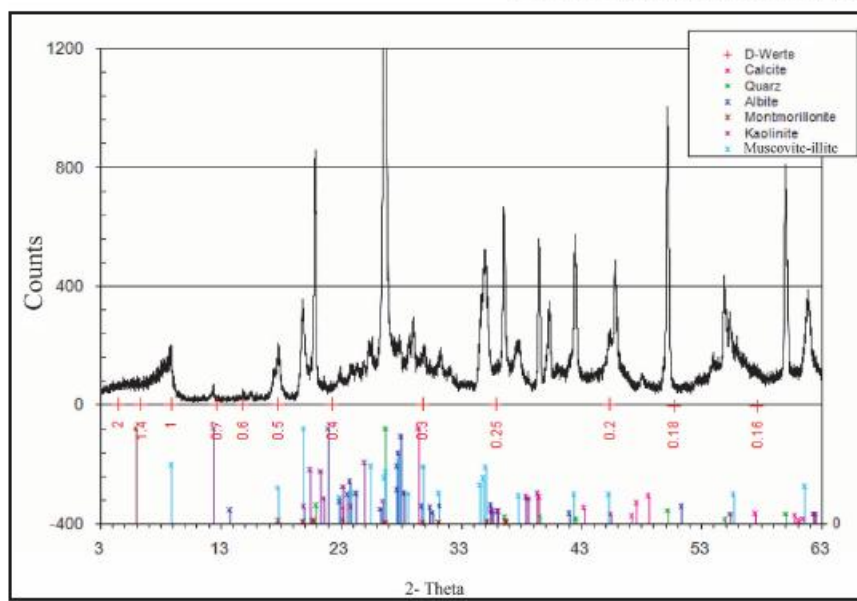
شکل ۱- نقشه پهنه‌های ساختاری ایران (Stocklin, 1968) و موقعیت منطقه گورگور و ذخایر فلزی طلا در منطقه تکاب در آن.



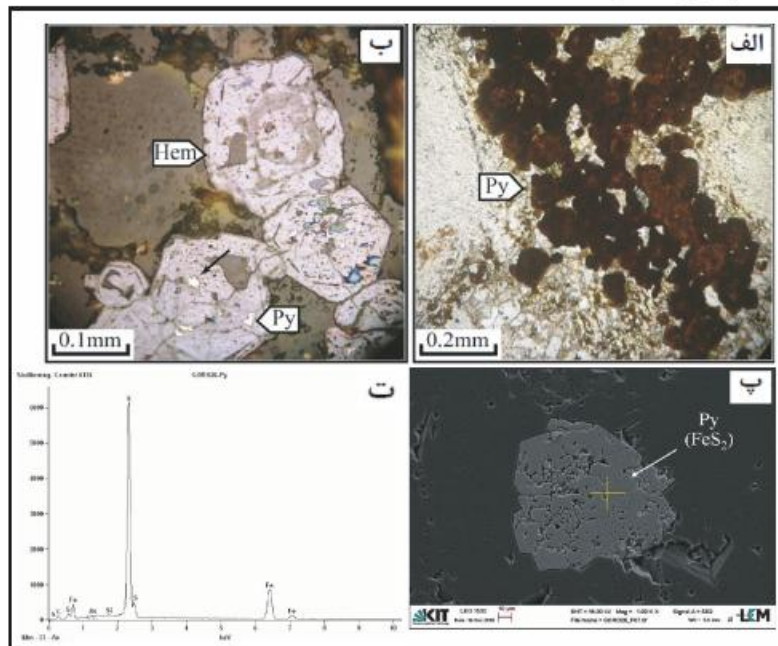
شکل ۲- نقشه زمین‌سنجی شمال تکاب (Dalanian, 2008) که در آن موقعیت منطقه گورگور و چگونگی توزیع دگرسانی گرمابی در آن مشخص شده است.



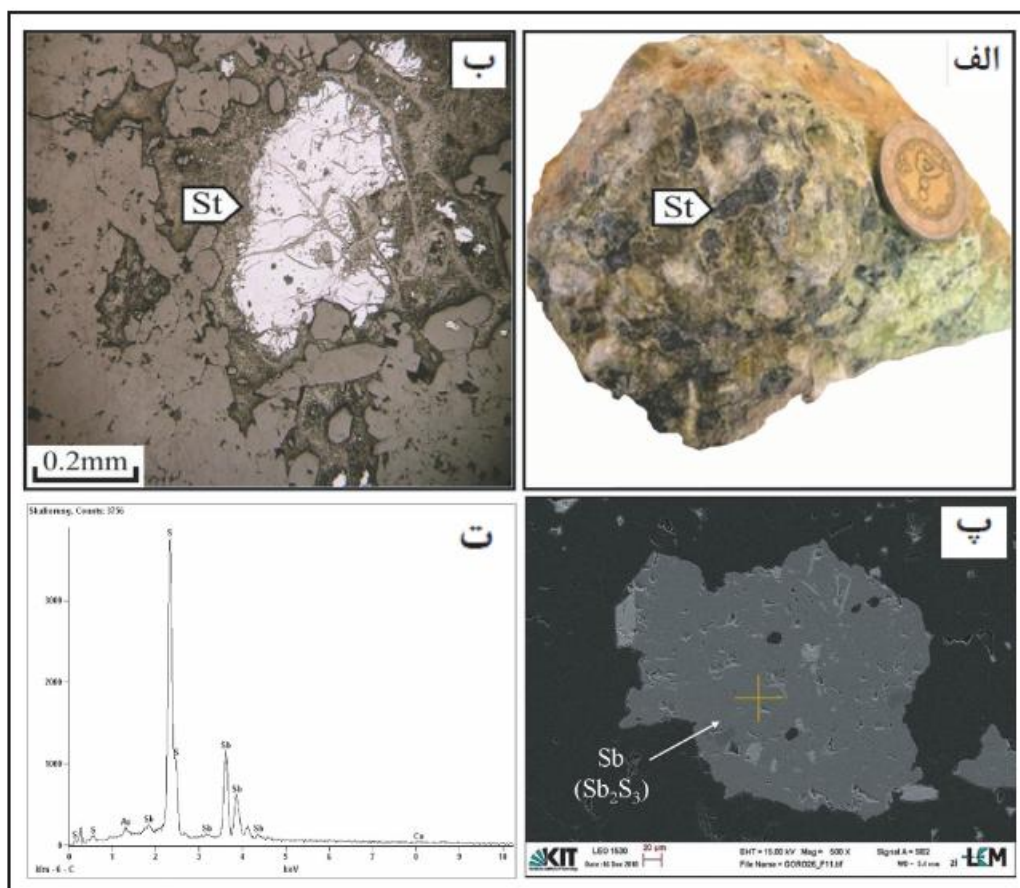
شکل ۳- تصاویر میکروسکوپی از سنگ های آندزیتی مریط با گسترش بهن دگرسانی آرژیلیک. (الف) درشت بلور پلازیو کلاز (Pl) دارای ادخال های اکائی های ثانویه با یافته غربالی؛ (ب) منطقه بندی در پلازیو کلاز به همراه آمفیبول (Am)؛ (ب) تجمعی از بلورهای مشوری سالم هورنبلند (Hbl) در مجاورت پلازیو کلاز. همه تصاویر در نور عبوری دوبار پلازیزه گرفته شده اند. نشانه های اختصاری کانی ها از Whitney and Evans (2010) برگرفته شده است.



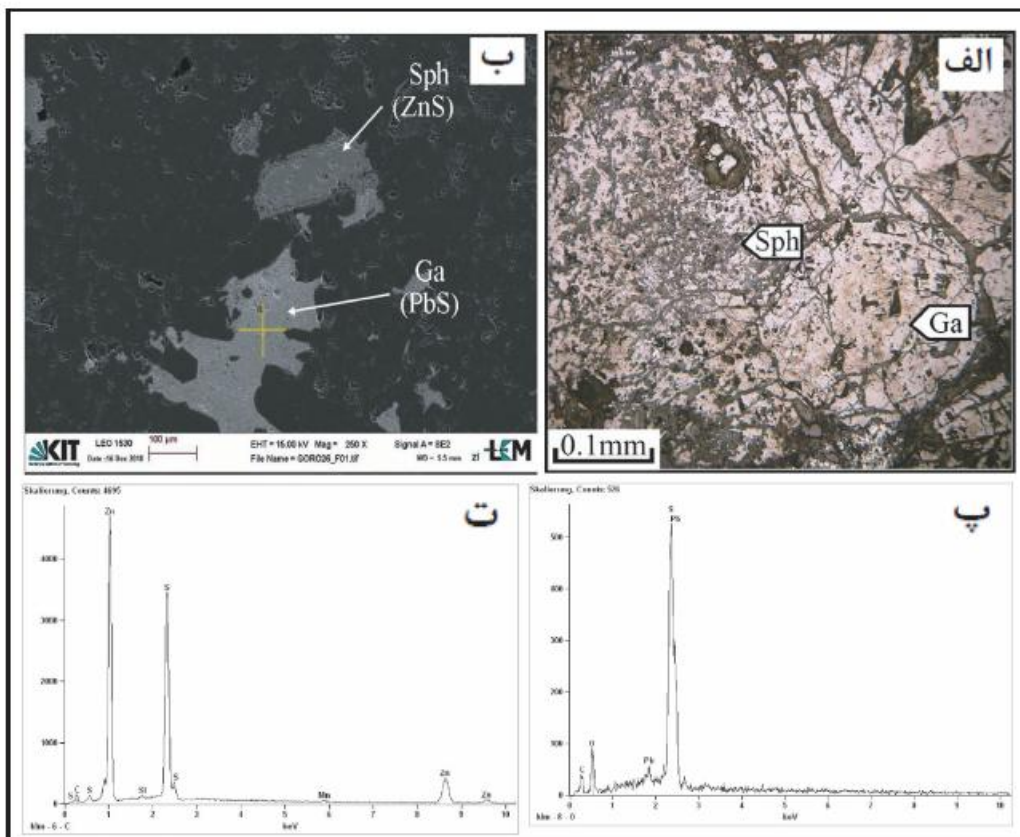
شکل ۴- طیف پراش پرتو ایکس (XRD) برای نمونه G-6



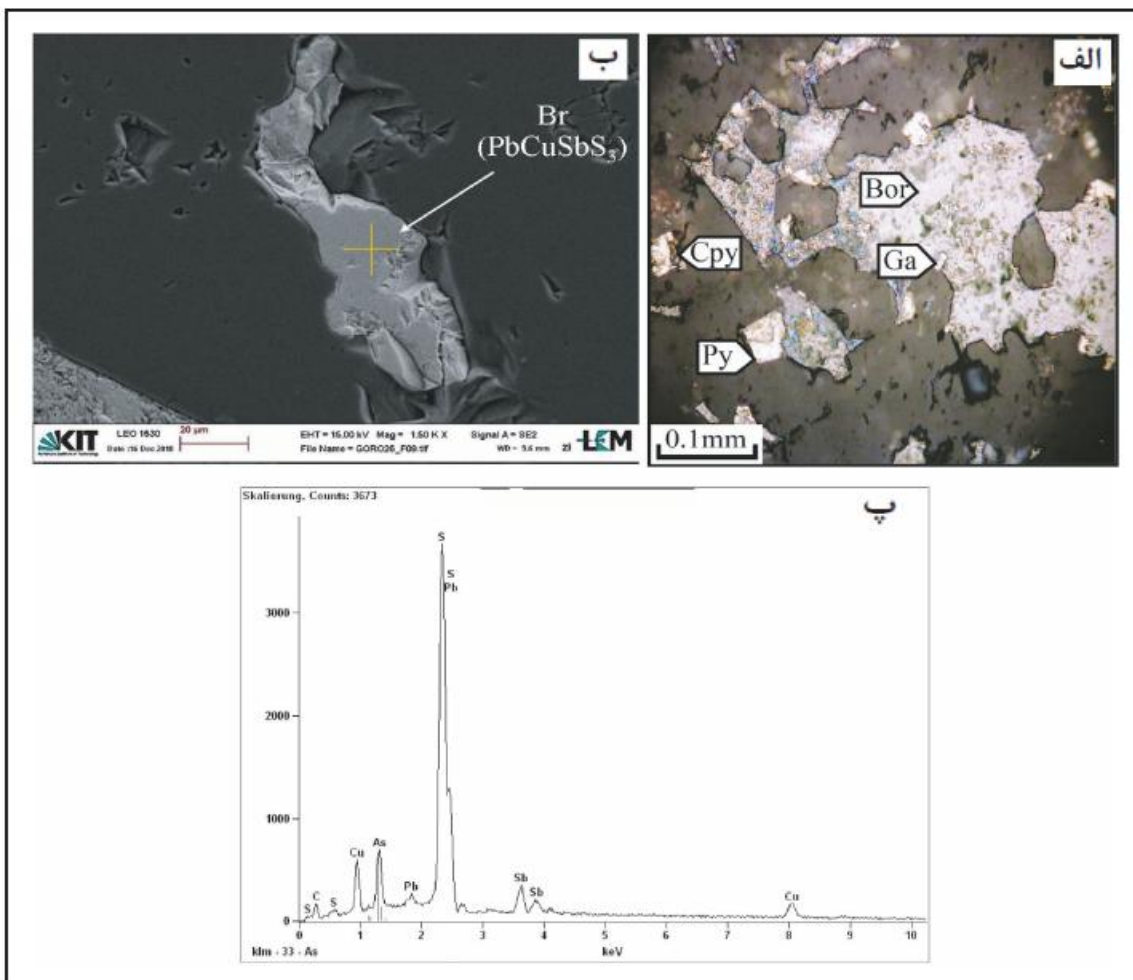
شکل ۵- (الف) پیریت دگرسان شده به هماتیت و گوتیت (نور بازتابی)؛ (ب) پیریت اکسیده شده که در آن هماتیت در حواشی و بقایای پیریت در مرکز دیده می شود (نور بازتابی)؛ (ب) تصویر SEM از یک پیریت نسبه خردشکل با مقادیر آرسنیک درون کوارتز (طیف EDS مربوط به کانی پیریت).



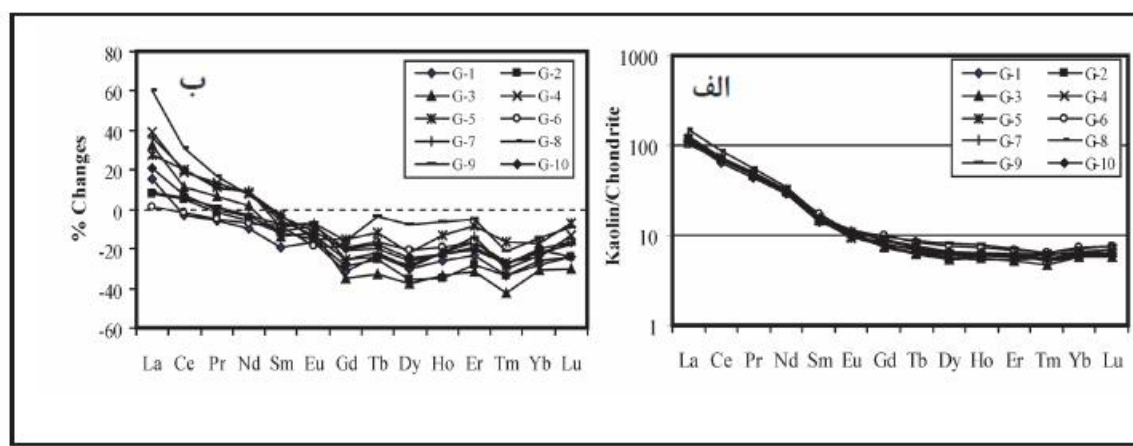
شکل ۶- الف) تصویر ماکروسکوپی از کانی سازی استینیت در رگه سیلیس موجود در بهنه دگرسانی آرژیلیک؛ ب) تصویر میکروسکوپی از کانی سازی استینیت (St) در رگه سیلیس (نور بازتابی)؛ ب) تصویر SEM از کانی سازی دانه پراکنده استینیت؛ ت) طیف EDS مربوط به کانی استینیت.



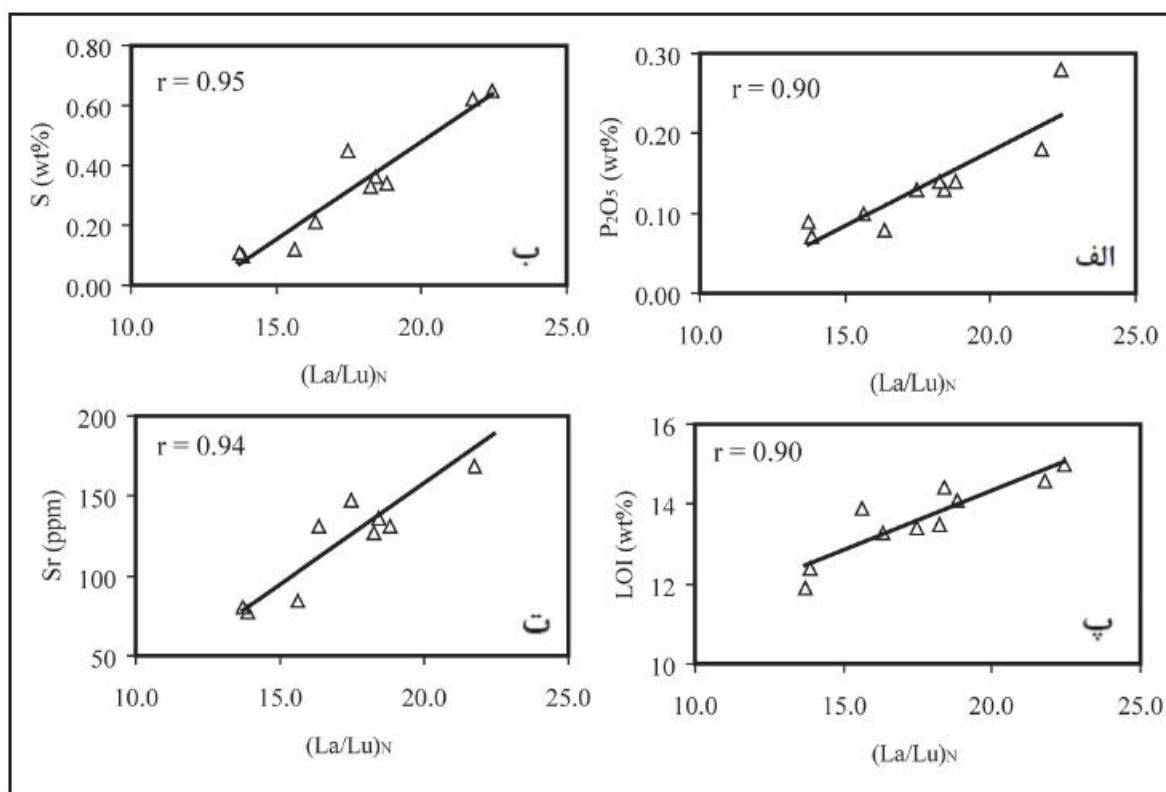
شکل ۷- الف) کانی سازی گالان (Ga) و اسفالریت (Sph) در رگه سیلیس (نور بازتابی)؛ ب) تصویر SEM از کانی سازی گالان و اسفالریت در رگه سیلیس؛ ب) طیف EDS مربوط به کانی گالان؛ ت) طیف EDS مربوط به کانی اسفالریت.



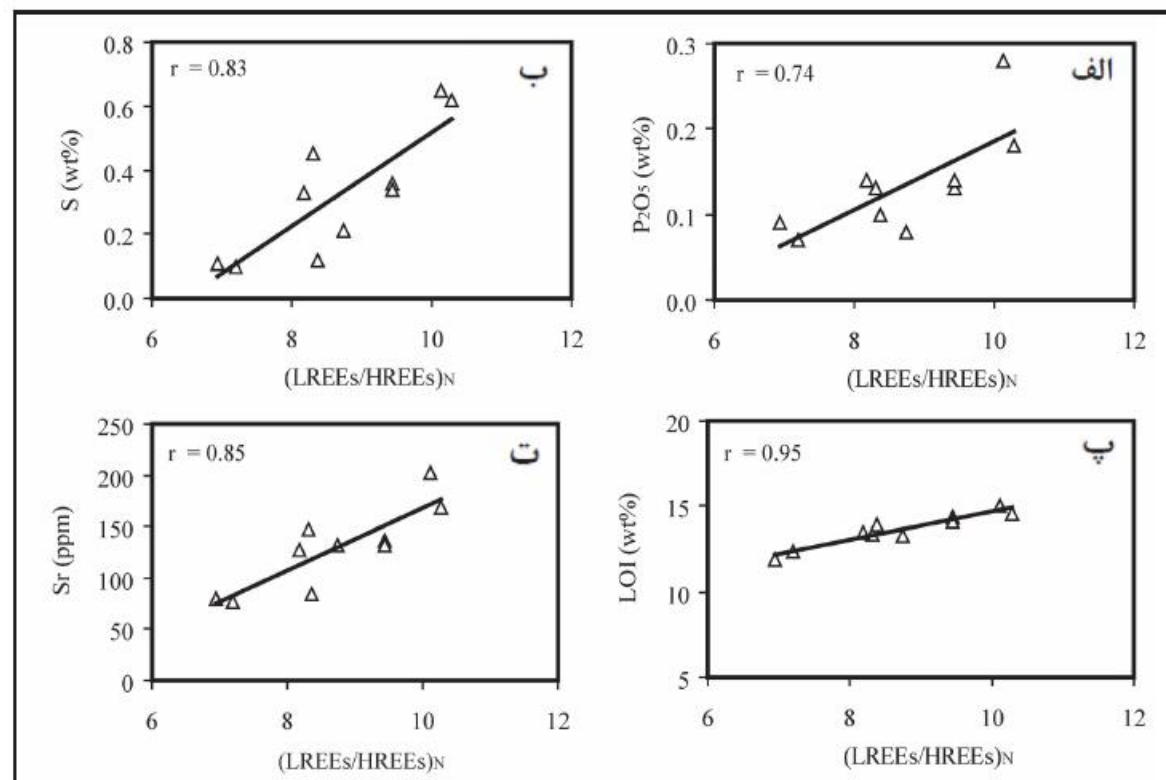
شکل ۸- (الف) تصویر میکروسکوپی از کانی سازی بورنیت (Bor)، گالان (Ga)، کالکوبوریت (Cpy) و پیریت (Py) در یک زمینه سیلیسی (نور بازتابی); (ب) تصویر SEM از کانی سازی بورنیت در رگه سیلیس؛ (ب) طیف EDS مربوط به کانی بورنیت.



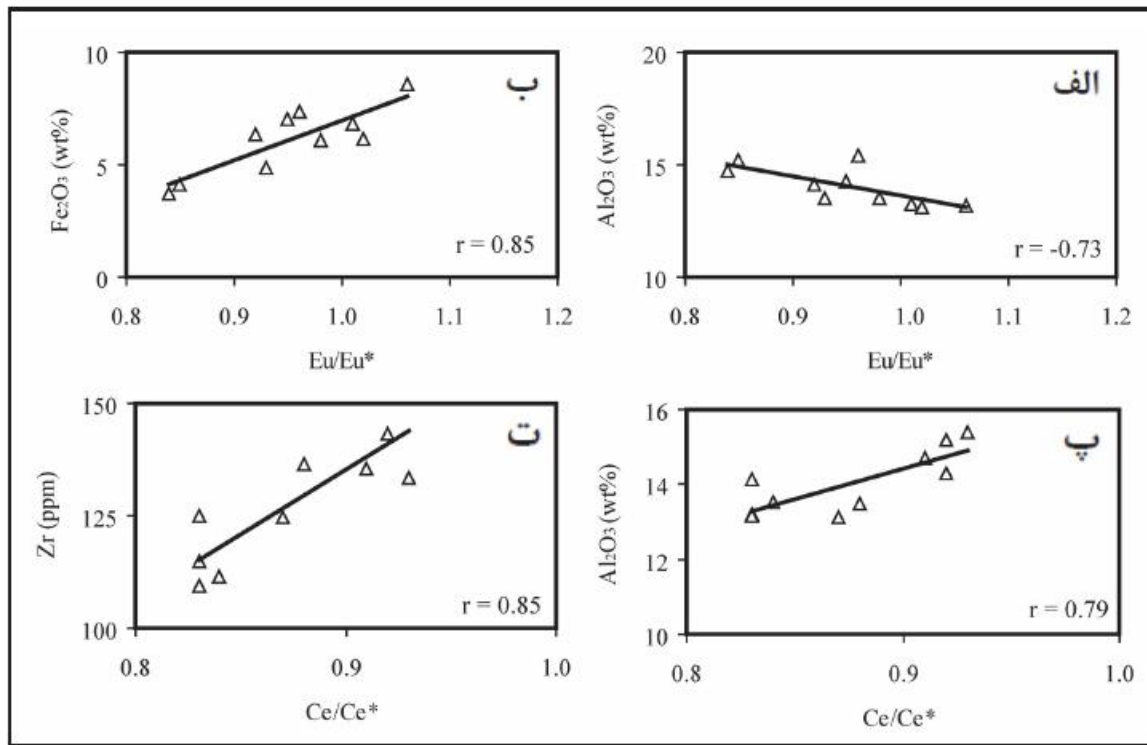
شکل ۹- (الف) المکری توزیع عناصر خاکی کیاپ بهنجار شده با کندریت برای نمونه های مورد مطالعه؛ (ب) نمودار تغییرات جرم عناصر خاکی کیاپ برای نمونه های کالونیزه یا فرض Sc به عنوان عنصر شاخص کم تحرک.



شکل ۱۰- نمودارهای دو متغیره: (الف) $(La/Lu)_N$ - Sr (ب) $(La/Lu)_N$ - P_2O_5 (ت) $(La/Lu)_N$ - LOI (د) $(La/Lu)_N$ - S برای نمونه های کانولینیزه گورگور.



شکل ۱۱- نمودارهای دو متغیره: (الف) $(LREEs/HREEs)_N$ - Sr (ت) $(LREEs/HREEs)_N$ - LOI (ب) $(LREEs/HREEs)_N$ - S (د) $(LREEs/HREEs)_N$ - P_2O_5 برای نمونه های کانولینیزه گورگور.



شکل ۱۲- نمودارهای دو متغیره: (الف) Eu/Eu^* - Al_2O_3 ، (ب) Eu/Eu^* - Fe_2O_3 ، (ج) Ce/Ce^* - Zr برای نمونه های کانولینیت گور گور.

جدول ۱- نتایج تعزیزی های پراش پرتو ایکس (XRD) در نمونه های مربوط به پهنه دگرسانی آرژیلیک در منطقه گور گور.

ردیف	شماره فموفه	فازهای اصلی	فازهای فرعی
۱	G-2	کانولینیت، کوارتز، جاروسمیت	آلیت، مسکوویت-ایلیت، آناتاز، کلریت، گوئیت، هماتیت
۲	G-3	کانولینیت، کوارتز	جاروسمیت، اورتوكلاز، آلیت، مسکوویت-ایلیت
۳	G-6	کانولینیت، کوارتز	آلیت، مسکوویت-ایلیت، مونتموریلینیت، کلیست
۴	G-7	کانولینیت، کوارتز	آلیت، اورتوكلاز، گوئیت، هماتیت
۵	G-9	کانولینیت، کوارتز	آلیت، مسکوویت-ایلیت، اورتوكلاز، کلریت
۶	G-10	کانولینیت، کوارتز	جاروسمیت، اورتوكلاز، مسکوویت-ایلیت، آلیت

جدول ۲- نتایج تجزیه‌های شیمیایی ICP-ES و ICP-MS نمونه‌های کالوینیزه و سلگ‌های آذرین آندزیتی منطقه گورگور.

Sample No	A-1	A-2	G-1	G-2	G-3	G-4	G-5	G-6	G-7	G-8	G-9	G-10
Andesite												
SiO ₂ (wt %)	62/21	62/14	6-14	56/VF	56/FD	6-14	6-14V	6-14	6-14	56/VI	6-1-2	59-1
Al ₂ O ₃	14/01	14/94	12/22	10/F-	12/14	12/03	14/V7	10/V7	12/12	14/12	14/89	12/F8
Fe ₂ O ₃	5/31	4/95	6/11	V/14	8/88	4/88	7/V1	4/10	6/17	6/88	V/1-6	6/1-7
MgO	2/16	1/85	-/12	-/10	-/14	-/10	-/16	-/16	-/16	-/18	-/10	-/10
CaO	7/16	7/43	-/1-0	-/1-7	-/1-6	-/1-0	-/1-	-/1-	-/19	-/14	-/1-7	-/1-
Na ₂ O	4/32	5/18	-/19	-/18	-/19	-/20	-/14	-/19	-/15	-/14	-/12	-/16
K ₂ O	2/6	2/68	2/04	4/14	2/69	2/18	4/14	4/1	2/62	2/16	2/142	2/168
TiO ₂	-/04	-/03	-/14	-/09	-/14	-/14	-/08	-/08	-/14	-/01	-/14	-/01
P ₂ O ₅	-/18	-/18	-/12	-/18	-/18	-/18	-/1-	-/1-	-/14	-/18	-/1-9	-/14
MnO	-/10	-/1-8	-/1-	-/18	-/1-8	-/1-	-/12	-/14	-/1-8	-/1-	-/14	-/1-9
TOT/C	-/1-2	-/1-2	-/1-4	-/1-3	-/1-4	-/11	-/14	-/19	-/16	-/12	-/1-6	-/1-9
TOT/S	-/1-2	-/1-2	-/10	-/11	-/18	-/18	-/12	-/1-	-/14	-/18	-/11	-/1-
LOI	1/0	1/1	12/V	12/V	12/V	12/V	12/9	12/V	12/1	12/-	11/9	12/0
Sum	99/81	99/81	99/AF	99/9T	99/68	99/19	99/0F	99/16	99/99	99/58	99/1Y	99/1A
Sc (ppm)	11	1-	11	11	11	1-	1-	12	1-	11	11	11
Ba	8-2	V88	F18	948	FF-	788	71-	F18	F21	89-	916	8-4
Hf	9/1	F1	7/0	F18	7/1	F1	7/8	7/9	F10	7/9	7/9	7/9
Nb	9/0	1-18	1-	9/8	1-	9/0	9/9	9/2	1-8	9/0	1-18	1-18
Sr	7A-1V	779/V	14V/F	121/T	168/0	178/T	18/F	17/V	121/T	2-1/F	1-12	126/8
Th	1-	21/1	10/9	1A/8	10/V	10/8	18/0	17/A	10/8	1V	19	12/F
Zr	149/0	149/V	127A	157/0	1-9/3	111/F	125/F	10-15	127/0	110/-	127/T	126/8
Cu	11/F	8/A	922/V	F88/0	V01/F	2-1/1	22A/1	701/T	222/V	8-2/F	86-18	2-1/A
Pb	V8/A	12/A	1----	V88A	1----	091V	2080	2AV-	V790	1----	1----	1----
Zn	99	1-	FF-	797	F9-	797	7VV	1-09	711	798	719	771
As	12	19/V	2-01	2212	FF0-	19-0	1202	1221	2-22	2118	2257	2712
Sb	9/2	1/9	2---	FF2	1--	VFF/0	022/0	011/8	1228	1018	FAT/A	2---
Y	18/T	19/T	12/V	12-	11/6	12/0	12/V	16/F	12/T	14/1	18/V	1F/T
La	22/A	22/A	F-1F	2V/A	FF/T	FF/T	F-10	7A/0	22/T	09-	2A/1	FF/T
Ce	09/A	91/A	91/V	991/A	7-10	98/F	99/F	98/2	99/T	87/F	9V/1	9A/T
Pr	9/1-9	9/12	9/14	9/F9	71-2	9/A	9/F8	9/12	9/F8	V/V1	9/99	9/09
Nd	2-1/F	22/2	2-16	21/0	22/T	22/8	22/0	22/1	22/6	22/F	22/1	21/9
Sm	2/0F	2/90	2/T	2/F9	2/F2	2/89	2/F9	2/98	2/18	2/82	2/98	2/02
Eu	1/1-2	1/1-1	-/12	-/13	-/17	-/18	-/18	-/18	-/18	-/18	1/1-2	1/1-1
Gd	2/T	2/91	2/F2	2/07	F7	2/89	2/V2	2/11	2/19	2/V9	2/V7	2/V7
Tb	-/04	-/10V	-/12	-/11	-/17	-/18	-/18	-/10	-/19	-/17	-/10	-/10
Dy	2/1-1	2/2A	2/T	2/12	2/1-V	2/10	2/VF	2/10	2/11	2/F0	2/1-F	2/V9
Ho	-/99	-/10	-/19	-/18	-/18	-/18	-/18	-/10	-/18	-/18	-/19	-/10
Er	1/VF	1/95	1/VF	1/10	1/18	1/F8	1/08	1/V1	1/FV	1/01	1/V8	1/F9
Tm	-/19	-/11	-/12	-/12	-/19	-/12	-/12	-/12	-/11	-/14	-/18	-/12
Yb	1/9F	2/1-A	1/01	1/00	1/FF	1/F0	1/0V	1/18	1/F8	1/98	1/V9	1/98
Lu	-/1F	-/12	-/10	-/10	-/18	-/18	-/18	-/12	-/10	-/18	-/18	-/10

جدول ۳- نسبت های عنصری در نمونه های مربوط به سنگ های آندزیتی و پهنه های کالو لیزره در منطقه گور گور.

	A-1	A-2	G-1	G-2	G-3	G-4	G-5	G-6	G-7	G-8	G-9	G-10
LREE _{La-Lu}	127/66	122/29	125/48	129/57	102/61	148/40	146/12	144/66	148/50	179/11	146/64	146/35
HREE _{Gd-Lu}	11/68	12/76	9/05	8/86	8/22	8/74	9/68	11/12	8/70	9/84	11/29	9/91
REEs	126/14	121/04	122/11	125/87	109/37	154/10	152/9	152/93	150/1	186/19	149/99	152/44
(La/Lu) _N	11/47	10/78	17/47	19/20	21/76	18/42	18/94	17/87	18/81	22/62	13/72	18/25
La+Ce+Y	111/9	112/0	114/8	116/6	128/4	125/7	122/6	122/1	126/1	152/0	121/9	124/3
Eu/Eu*	-/94	-/82	-/11	-/96	-/06	-/93	-/84	-/87	-/02	-/92	-/90	-/98
Ce/Ce*	-/92	-/94	-/87	-/95	-/87	-/84	-/91	-/92	-/87	-/83	-/92	-/88
(LREEs/HREEs) _N	8/02	8/01	8/01	8/04	1-18	9/64	8/74	7/19	9/44	1-12	9/94	8/18

جدول ۴- ضرایب همبستگی پرسون میان برخی از عناصر و نسبت های عنصری در نمونه های کالو لیزره.

	Al	Fe	P	S	LOI	Sr	Zr	LREEs	HREEs	(La/Lu) _x	Eu/Eu*	Ce/Ce*	(LREEs/HREEs) _x
Al	1/..												
Fe	-/150	1/..											
P	-/150	-/51	1/..										
S	-/193	-/02	-/88	1/..									
LOI	-/19	-/11	-/77	-/88	1/..								
Sr	-/18	-/02	-/88	-/99	-/81	1/..							
Zr	-/97	-/19	-/11	-/80	-/17	-/187	1/..						
LREEs	-/11	-/14	-/90	-/94	-/97	-/99	-/193	1/..					
HREEs	-/19	-/19	-/18	-/07	-/17	-/91	-/19	-/14	1/..				
(La/Lu) _x	-/09	-/97	-/91	-/90	-/91	-/94	-/117	-/19	-/94	1/..			
Eu/Eu*	-/17	-/80	-/28	-/08	-/20	-/07	-/01	-/18	-/09	-/87	1/..		
Ce/Ce*	-/93	-/11	-/19	-/91	-/17	-/81	-/19	-/147	-/89	-/83	-/01	1/..	
(LREEs/HREEs) _x	-/19	-/17	-/17	-/17	-/10	-/10	-/197	-/19	-/18	-/93	-/97	-/11	1/..

گتابنگاری

اروچی، ع.، ۱۳۹۱. کارشناسی و ژئوشیمی زون‌های دگرسان و میزالیزه منطقه گورگور (شمال غرب تکاب، استان آذربایجان غربی). رساله کارشناسی ارشد، گروه زمین‌شناسی دانشگاه ارومیه، ۱۳۸ ص.

References

- Abedini, A. and Calagari, A. A., 2015- Geochemical characteristics of the Abgharm kaolin deposit, NW Iran. *Neues Jahrbuch für Geologie und Paläontologie- Abhandlungen* 278 (3): 125-139.
- Arslan, M., Kadir, S., Abdioglu, E. and Kolayli, H., 2006- Origin and formation of kaolin minerals in saprolite of Tertiary alkaline volcanic rocks, Eastern Pontides, NE Turkey. *Clay Minerals* 41: 597-617.
- Asadi, H. H., Voncken, J. H. L., Kühnel, R. A. and Hale, M., 2000- Petrography, mineralogy and geochemistry of the Zarshuran Carlin-like gold deposit, northwest Iran. *Mineralium Deposita* 35: 656-671.
- Boni, M., Gilg, H. A., Balassone, G., Schneider, J., Allen, C. R. and Moore, F., 2007- Hypogene Zn carbonate ores in the Angouran deposit, NW Iran. *Mineralium Deposita* 42: 799-820.
- Boni, M., Gilg, H. A., Balassone, G., Schneider, J., Allen, C. R. and Moore, F., 2004- Environmental geochemistry of Zarshuran Au-As deposit, NW Iran. *Environmental Geology* 46: 796-807.
- Daliran, F. and Walther, J., 2000- A comparative study of the sediment-hosted gold deposits of Agdarreh and Zarshuran at N-Takab geothermal field, NW Iran. Part II: Fluid inclusion study. *European Journal of Mineralogy* 12: 1-32.
- Daliran, F., 2008- The carbonate rock-hosted epithermal gold deposit of Agdarreh, Takab geothermal field, NW Iran-hydrothermal alteration and mineralization. *Mineralium Deposita* 43: 383-404.
- Dill, H. G., Bosse, H. R., Henning, K. H., Fricke, A. and Ahrendt, H., 1997- Mineralogical and chemical variations in hypogene and supergene kaolin deposits in a mobile fold belt of the Central Andes of northwestern Peru. *Mineralium Deposita* 32: 149-163.
- Fulignati, P., Gioncada, A. and Sbrana, A., 1999- Rare earth element (REE) behaviour in the alteration facies of the active magmatic-hydrothermal system of Vulcano (Aeolian Islands, Italy). *Journal of Volcanology and Geothermal Research* 88: 325-342.
- Ghorbani, M., 2013- The Economic Geology of Iran: Mineral Deposits and Natural Resources. Springer, 1-569.
- Gilg, H. A., Boni, M., Balassone, G., Allen, C. R., Banks, D. and Moore, F., 2006- Marble-hosted sulfide ores in the Angouran Zn (Pb-Ag) deposit, NW Iran: Interaction of sedimentary brines with a metamorphic core complex. *Mineralium Deposita* 41: 1-16.
- Grecco, L. E., Marfil, S. A. and Maiza P. J., 2012- Mineralogy and geochemistry of hydrothermal kaolins from the Adelita mine, Patagonia (Argentina); relation to other mineralization in the area. *Clay Minerals* 47: 131-146.
- Kadir, S. and Erkoyun, H., 2013- Genesis of the hydrothermal Karaçayır kaolinite deposit in Miocene volcanics and Palaeozoic metamorphic rocks of the Usak-Güre Basin, western Turkey. *Turkish Journal of Earth Sciences* 22: 444-468.
- Kadir, S., Kulah, T., Eran, M., Önagil, N. and Gurel, A., 2014- Mineralogical and geochemical characteristics and genesis of the Gözelyurt alunite-bearing kaolinite deposit within the late Miocene Gördeles ignimbrite, central Anatolia, Turkey. *Clays and Clay Minerals* 62: 477-499.
- Karakaya, N., 2009- REE and HFS element behaviour in the alteration facies of the Erenler Dağı Volcanics (Konya, Turkey) and kaolinite occurrence. *Journal of Geochemical Exploration* 101: 185-208.
- Mehrabi, B., Yardley, B. W. D. and Cann, J. R., 1999- Sediment-hosted disseminated gold mineralisation at Zarshuran, NW Iran. *Mineralium Deposita* 34: 673-696.
- Modaber, S. and Moore, F., 2004- Environmental geochemistry of Zarshuran Au-As deposit, NW Iran. *Environmental Geology* 46: 796-807.
- Nesbitt, H. W. and Markovics, G., 1997- Weathering of granodioritic crust, long-term storage of elements in weathering profiles, and petrogenesis of siliciclastic sediments. *Geochimica et Cosmochimica Acta* 61: 1653-1670.
- Stocklin, J., 1968- Structural history and tectonics of Iran: A review. *Bulletin-American Association of Petroleum Geologists*, 52: 1258-1299.
- Taylor, Y. and McLennan, S. M., 1985- The continental crust: Its composition and evolution. 1st ed. Oxford, UK: Blackwell.
- Whitney, D. L. and Evans, B. W., 2010- Abbreviations for names of rock-forming minerals. *American Mineralogist* 95: 85-187.

Mineralogy and REEs geochemistry of kaolinized zones of the Goorgoor area, North of Takab, NW Iran

A. Abedini^{1*}, A. Oroji² and A. A. Calagari³

¹Associate Professor, Geology Department, Faculty of Sciences, Urmia University, Urmia, Iran

² M.Sc., Geology Department, Faculty of Sciences, Urmia University, Urmia, Iran

³Professor, Department of Earth Sciences, Faculty of Natural Sciences, University of Tabriz, Tabriz, Iran

Received: 2016 January 12

Accepted: 2016 July 18

Abstract

The kaolinized zones of the Goorgoor area (north of Takab, West-Azabaidjan province) are alteration products of andesitic rocks of Miocene age in northwest of Iran. Based on the mineralogical studies, kaolinite, quartz, jarosite, montmorillonite, albite, muscovite-illite, anatase, chlorite, orthoclase, calcite, goethite and hematite are mineral phases in these zones. The silicic veins existing within these zones include metallic minerals such as pyrite, chalcopyrite, galena, sphalerite, bornite, and stibnite. The mass change calculations of rare earth elements (REEs), with assumption of Sc as a monitor immobile element, reveal that development of kaolinization processes were accompanied by enrichment-depletion of La-Nd and depletion of Sm-Lu. Geochemical analyses show that the degree of differentiation of Al from Fe and destruction of zircon by hydrothermal fluids are the most important controlling factors for variation of Eu (0.84-1.06) and Ce (0.83-0.93) anomalies in these zones, respectively. Positive and strong correlations of $(La/Lu)N$ and $(LREEs/HREEs)N$ values with components such as P, S, LOI, and Sr establish the effective role of hypogene solutions in progression of kaolinization processes. The combination of the obtained results from mineralogical and geochemical investigations suggest that changes in chemistry of altering solutions (e.g., pH and Eh) and diversity in type of fixing minerals are two key factors affecting differentiation and distribution of REEs in the kaolinized zones at Goorgoor.

Keywords: Geochemistry, REEs, Kaolinized zones, Mineralogical variation, Goorgoor, Iran.

For Persian Version see pages 3 to 14

*Corresponding author: A. Abedini; E-mail: abedini2020@yahoo.com